

Near-IR View of Accretion Disks in Super-Eddington Active Galactic Nuclei

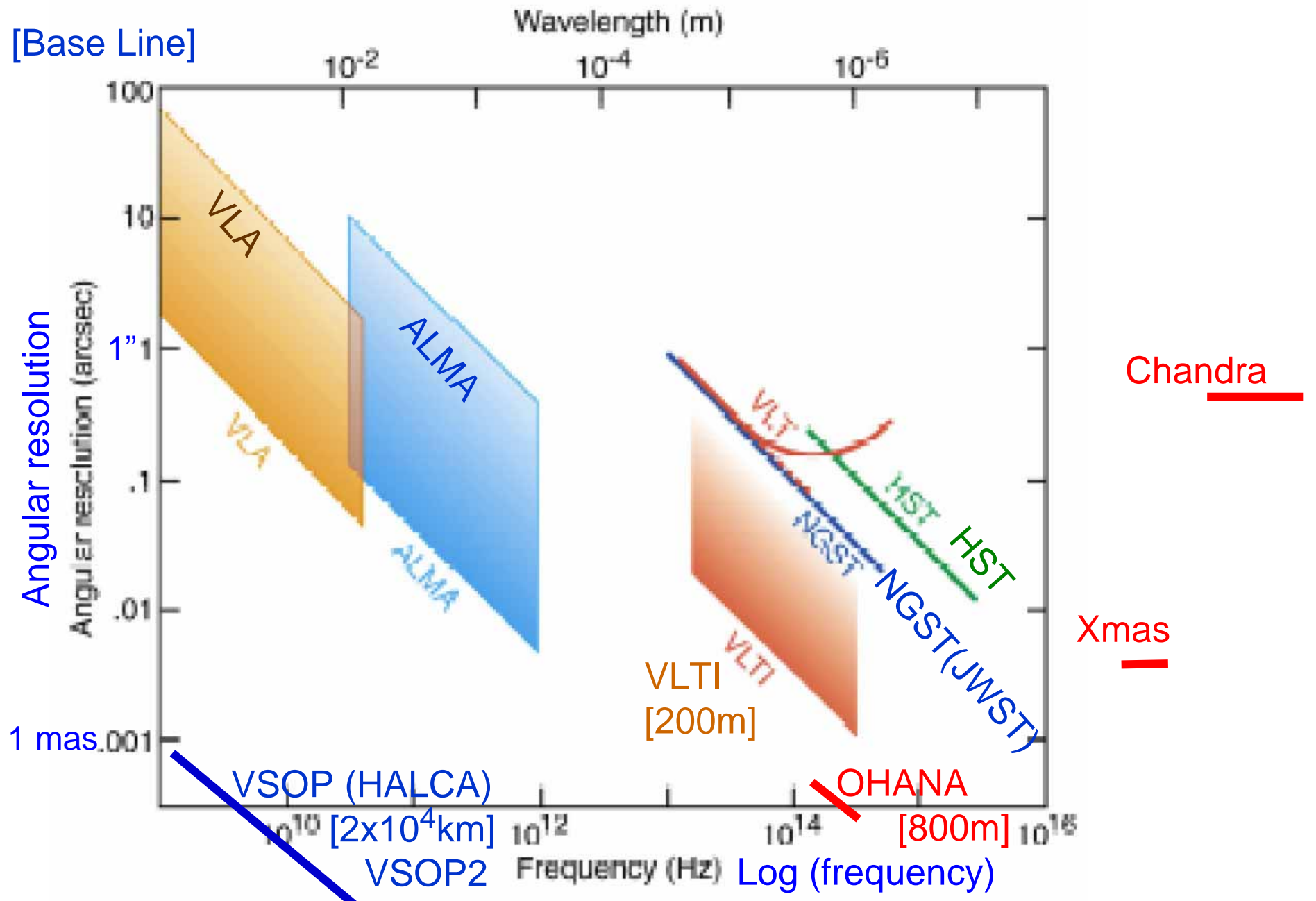
Toshihiro KAWAGUCHI (川口 俊宏)

(National Astronomical Observatory of Japan,
Optical & IR division)

(4, Nov., 2004)

Contents

1. 超臨界(super-Eddington)降着円盤特有の物理過程:
円盤自己重力 (中心BHから 約 $10^4 R_{\text{Sch}}$)
2. 原始惑星系円盤の、(自己重力起源らしき)渦状構造に学ぶ:
OHANAやVLTI (近赤外線干渉計(計画))の空間分解能で、
AGN降着円盤の渦模様は見えるか? どれだけ足らないか?



ESO report; VLTI strategy upto 2020

0. Candidates for Super-Eddington Accretion sources

- Narrow-Line Seyfert 1 galaxies (NLS1s):

Black Hole (BH) mass: $M_{\text{BH}} \sim 10^{(6-7)} M_{\text{sun}}$,

Bolometric Luminosity $\underset{\sim}{>} \text{ Eddington Limit } (L_{\text{Edd}})$

- Narrower “Broad Lines”: line width \sim virial velocity at broad-line region
- Rapid X-ray variability : smaller emitting region
- Hotter “Big Blue Bump” (optical--X-ray): smaller volume (cf. X-ray binaries)

(cf. quasar: $M_{\text{BH}} \sim 10^9 M_{\text{sun}}$, $L \sim (0.01 -- 0.1) L_{\text{Edd}}$)

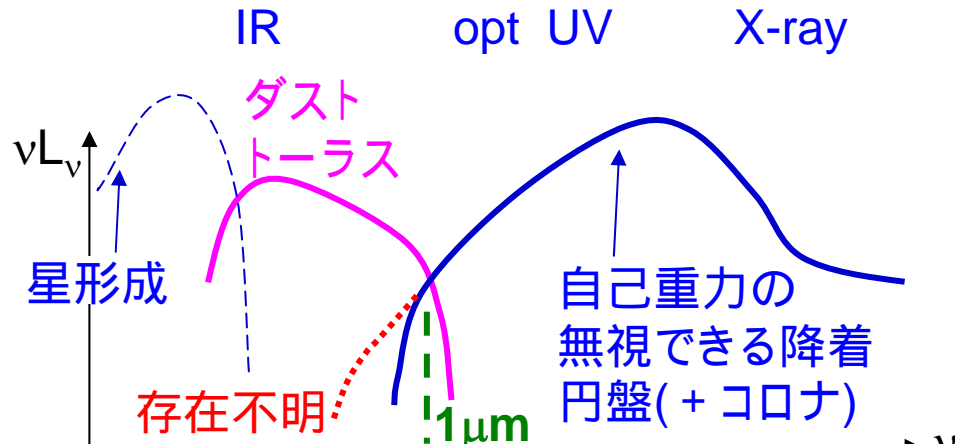
(言い換えると、accretion rate (\dot{M}) / M_{BH} 比が他のAGNに比べ大きい。)

NLS1の関連する研究分野(今日の発表には関係ないです)

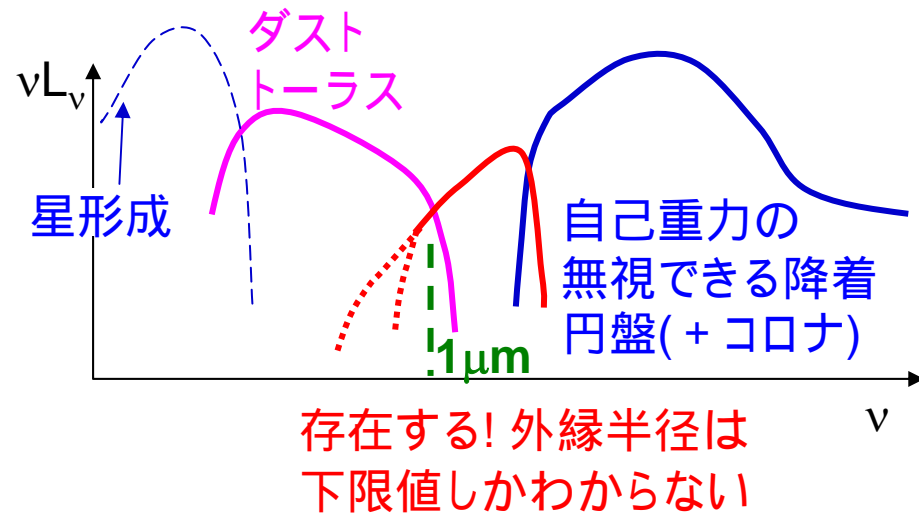
- Rapid ($\sim M_{\text{BH}}/\dot{M}$) and major phase of BH growth (Kawaguchi et al. 2004b)
- Elapsed time from the beginning of BH growth ($\sim M_{\text{BH}}/\dot{M}$) seems shorter.
(Our spectroscopic and imaging observations are underway.)
- Contribution to Extreme-UV (EUV) background radiation : → Re-ionization
- Laboratories for accretion disk theory (Kawaguchi 03; Kawaguchi et al. 04a)

1-1. : self-gravity in AGN accretion disk

- Sub-Eddington AGNs

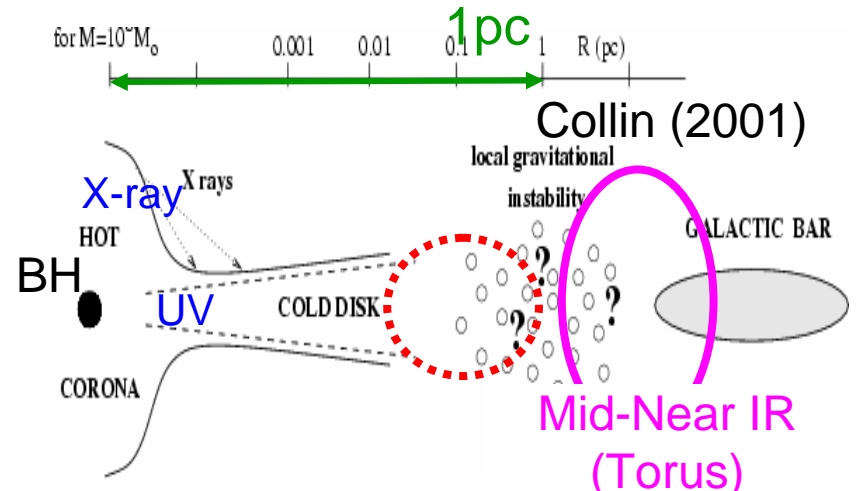


- Super-Eddington AGNs



Before ...

Self-gravitating part of the accretion disk can not be observed.
(i.e. not testable)

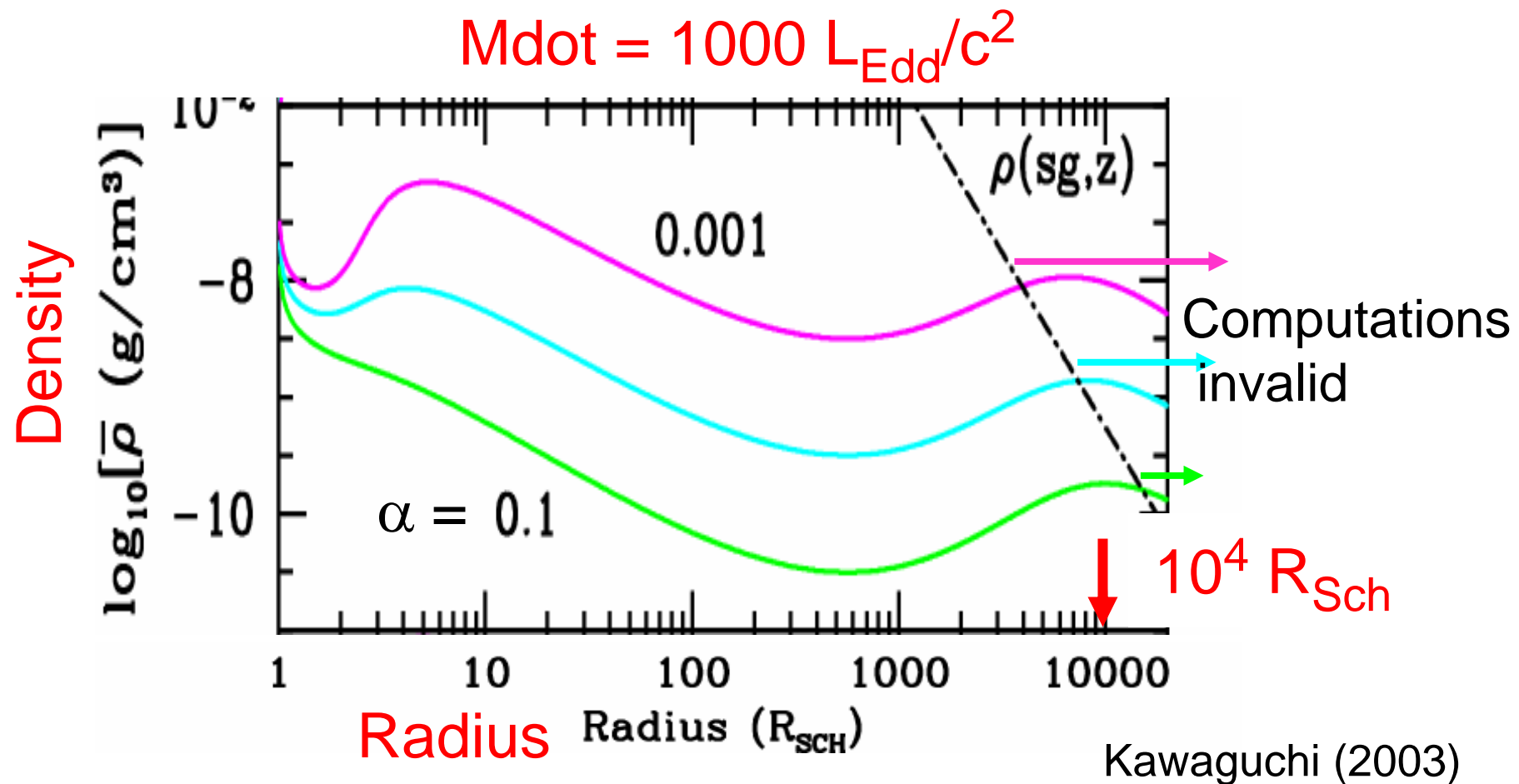


Now ...

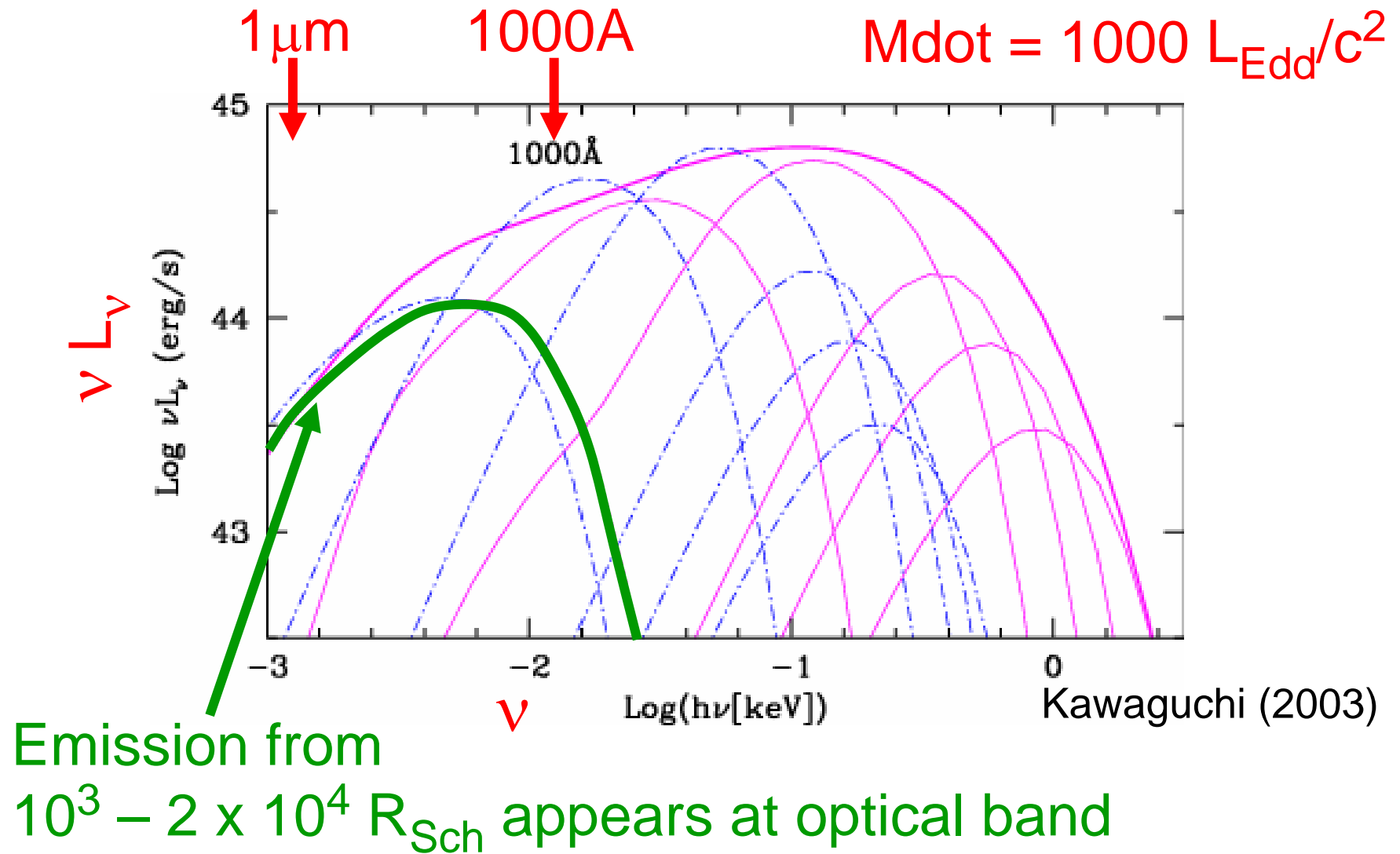
Self-gravitating part of accretion disks
(in super-Eddington AGNs) exists, and
does emit optical continuum radiation
(Kawaguchi 03; Kawaguchi et al. 04a).
(Systematic M_{BH} overestimation)

1-2. Self-gravity in AGN accretion disks: Discovery (1/2)

If $\rho > \rho(\text{sg})$ (Vertical) self-gravity onsets



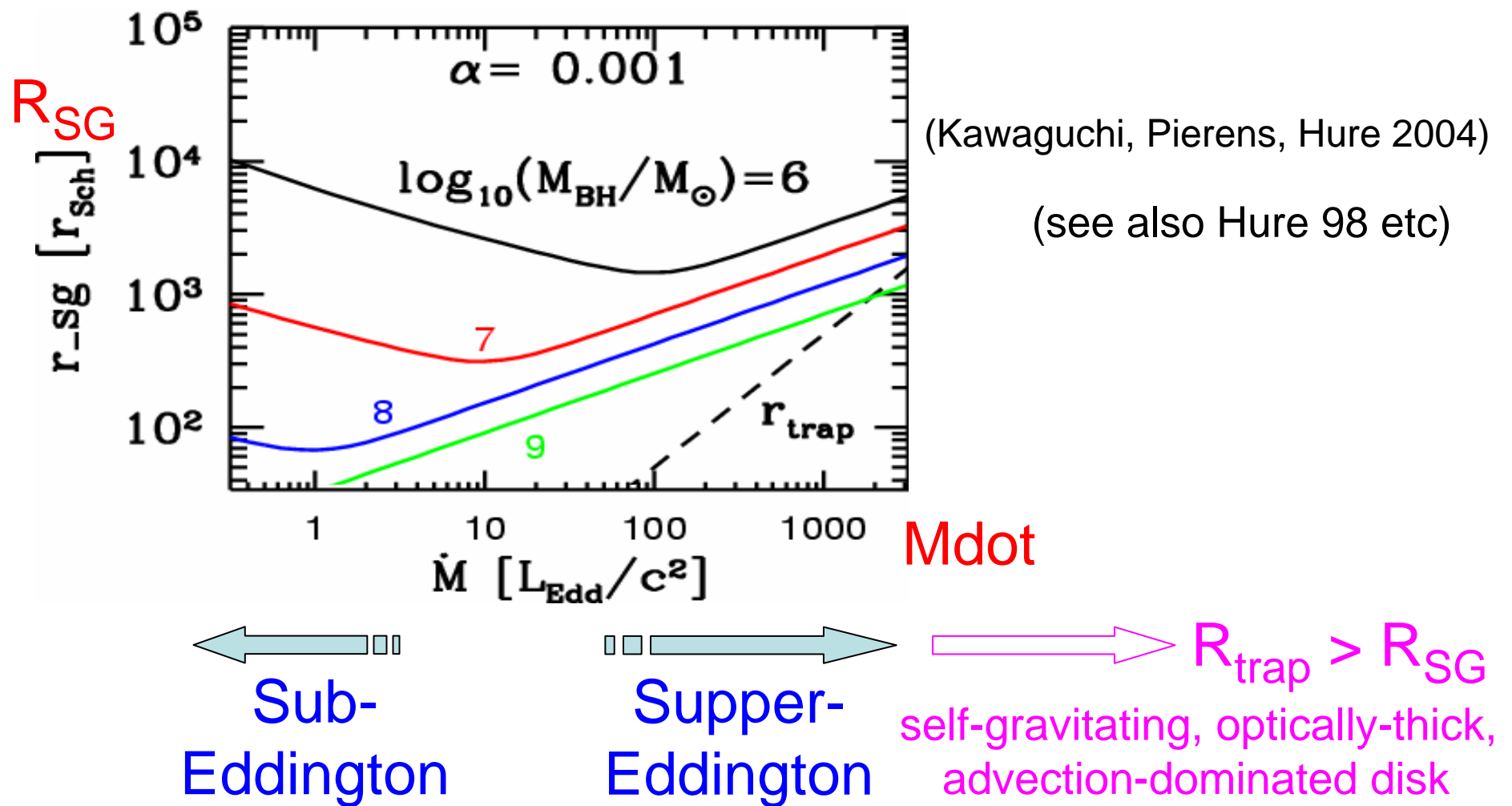
1-2. Self-gravity in AGN accretion disks: Discovery (2/2)



3-3. Outer edge of non self-gravitating disk (1/3): Radius

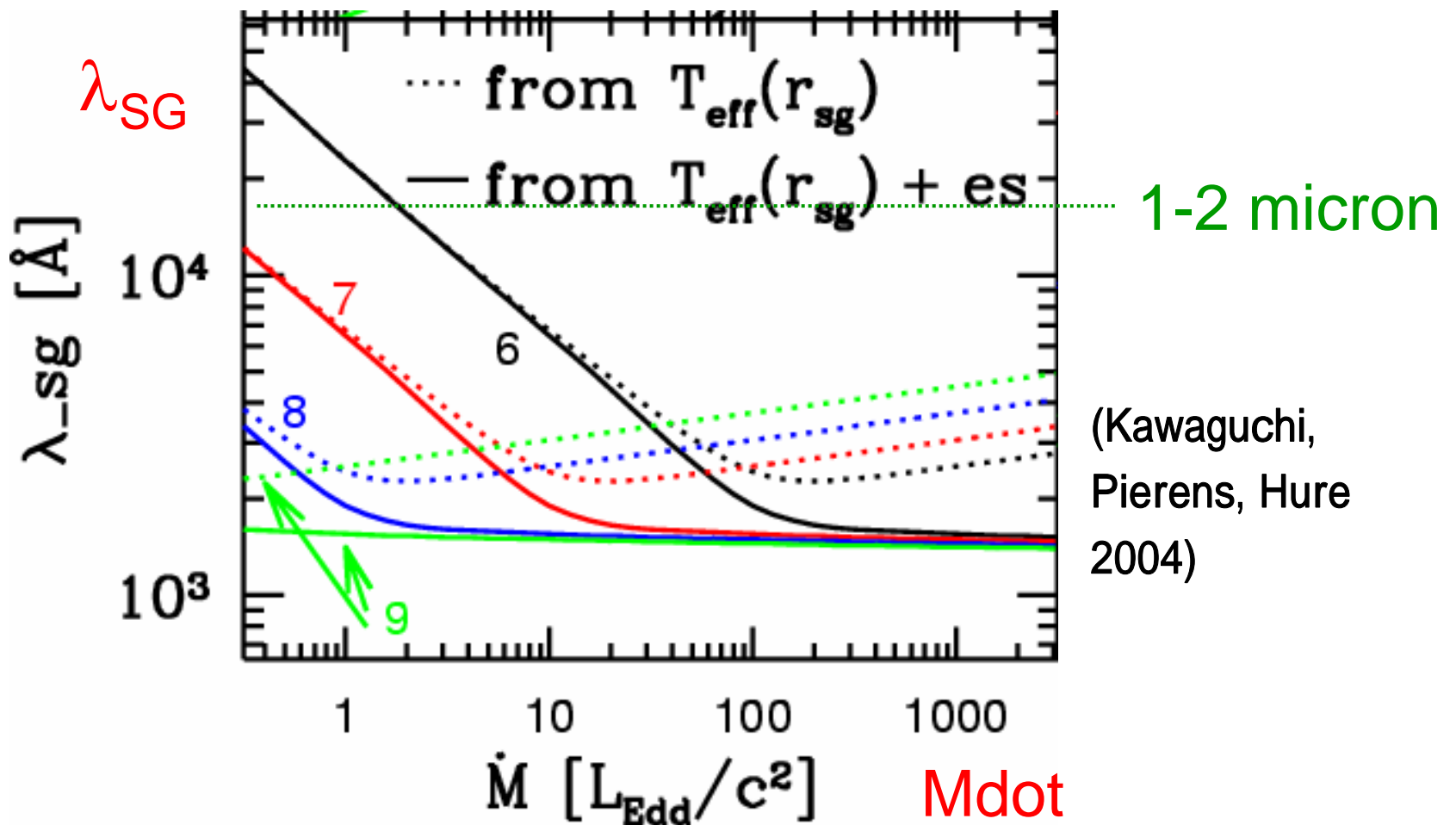
R_{SG} : the radius where $\rho = \rho_{(sg)} = \dots^2 / (4 \pi G)$

At $R > R_{SG}$, self-gravity plays a role.

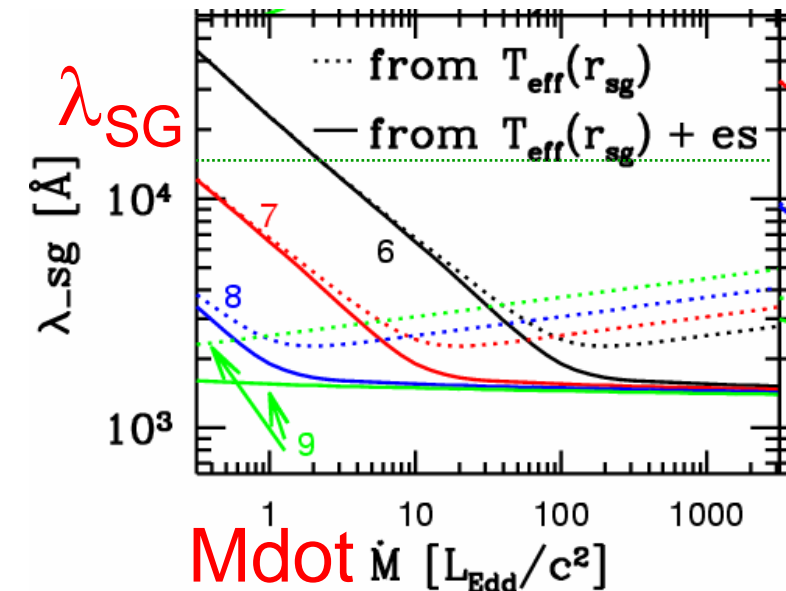
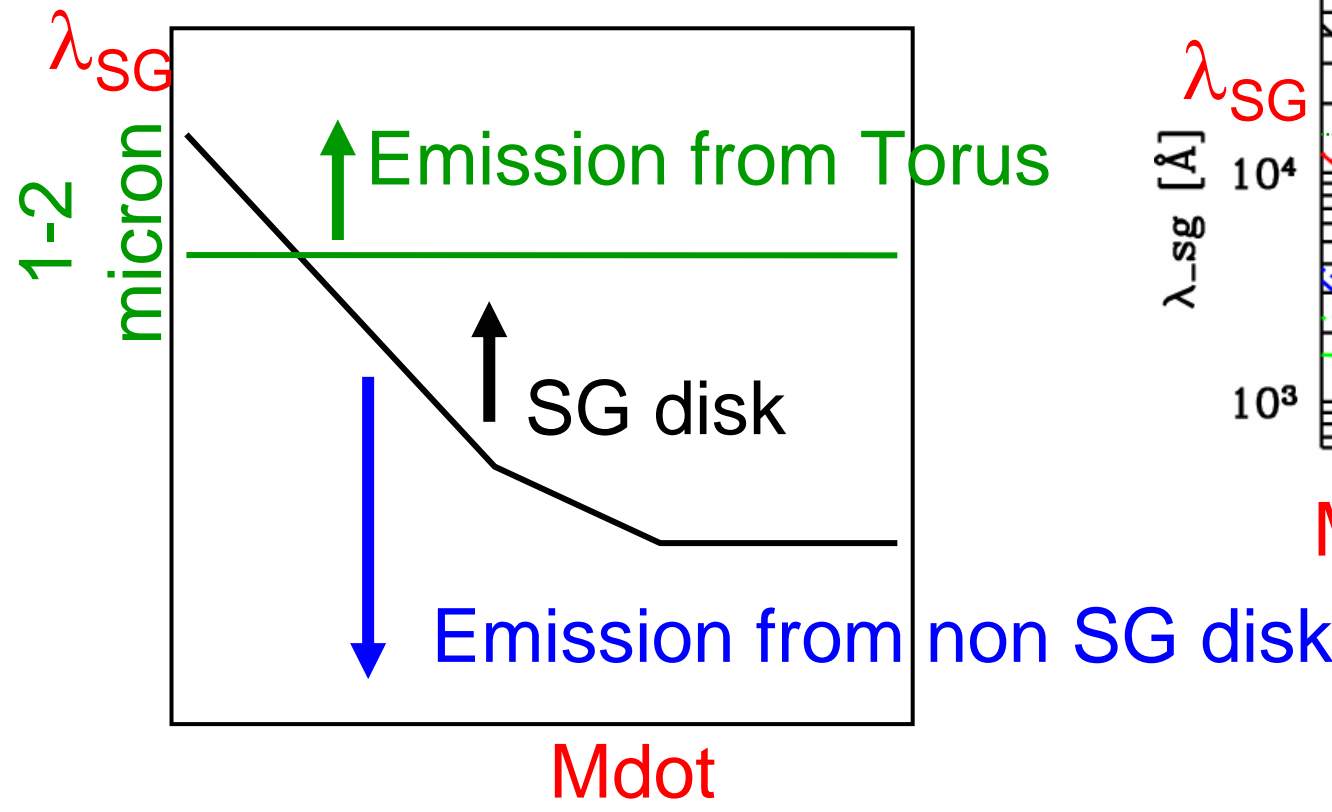


3-3. Outer edge of non self-gravitating disk (2/3): Wavelength-1

λ_{SG} : wavelength corresponding to emission from R_{SG}

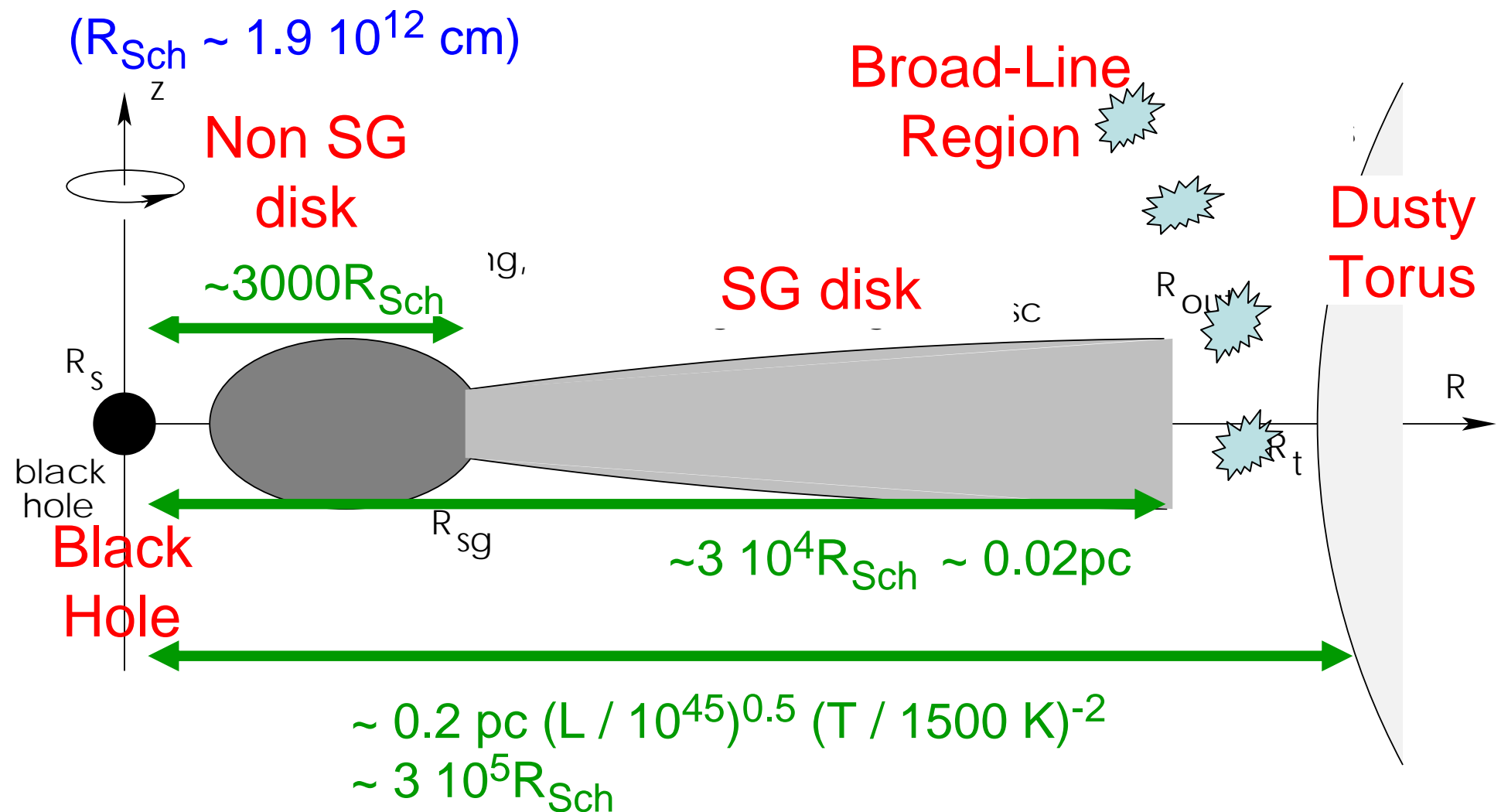


3-3. Outer edge of non self-gravitating disk (3/3):Wavelength-2



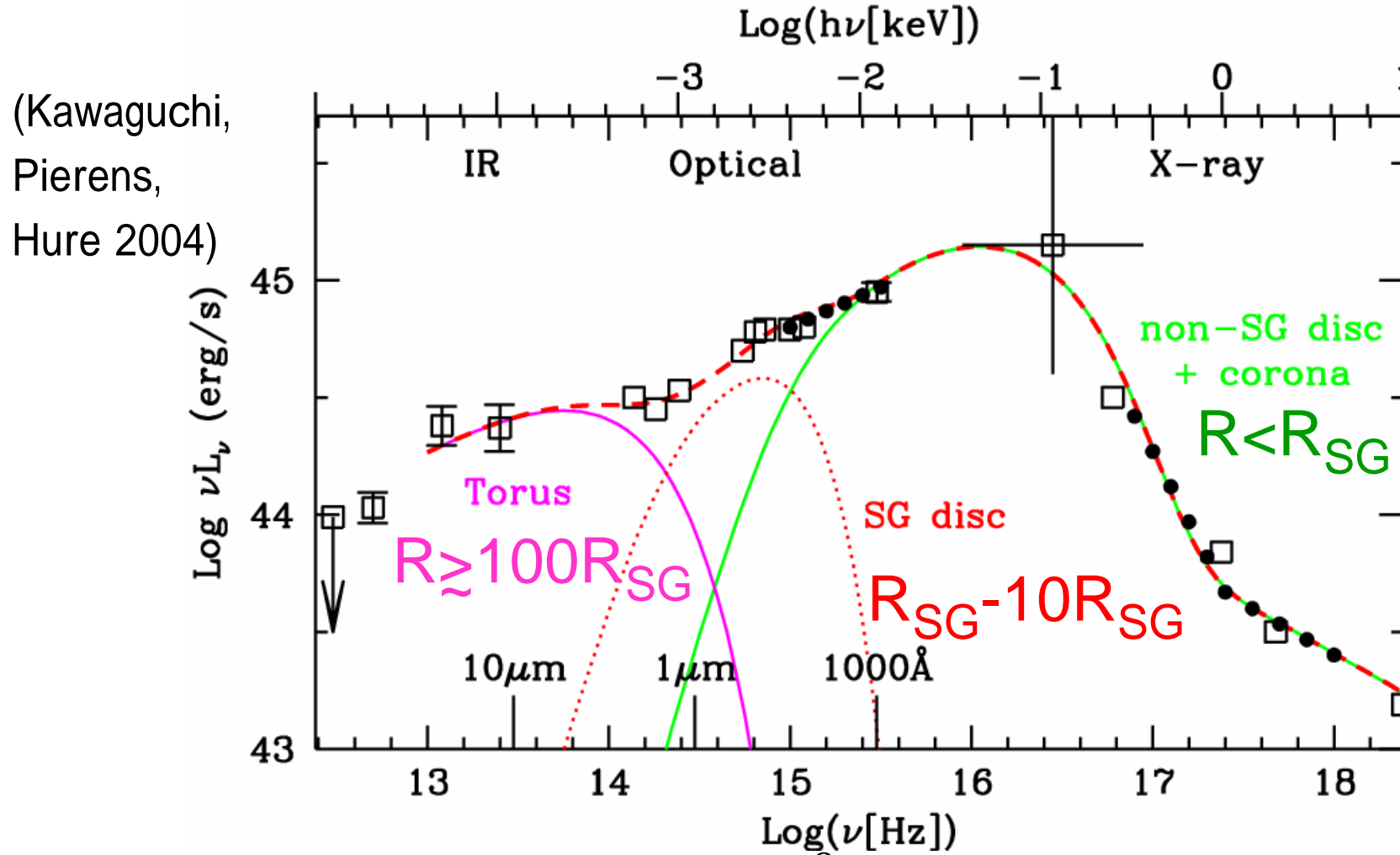
“ $\lambda_{SG} < 1$ micron” indicates that we CAN observe self-gravitating part of accretion disks.
“Spectral Window to Observe Self-Gravity”

4-3. Ton S 180: Configuration



Distance of Broad Line Region from central BH (Kaspi et al. 2000)
 $\sim 0.085 \text{ pc } \sim 1.4 \cdot 10^5 R_{Sch}$

4-8. Ton S 180: Self-Gravitating Disk-1



- Assumptions; $\Sigma \sim R^\gamma$, $H \sim R^\beta$ ($\beta \sim 1$)
- Inner boundary conditions; $\Sigma(R_{SG})$ and $H(R_{SG})$
- Outer most radius is chosen to be $10 R_{SG}$

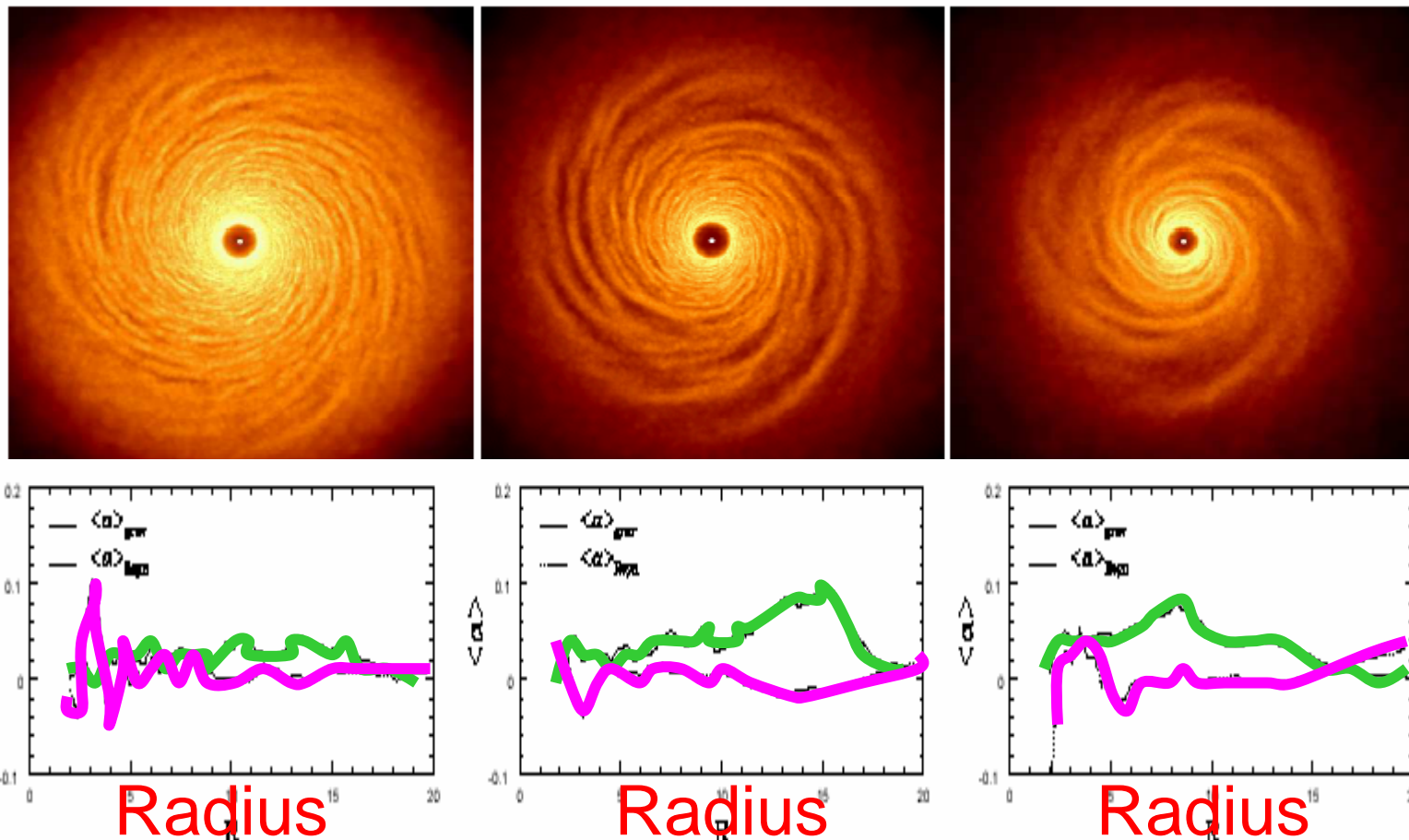
4-9. Ton S 180: Self-Gravitating Disk-2

Heating at SG disk

$M_{\text{disc}} = 0.05M_{\text{BH}}$

$0.1M_{\text{BH}}$

$0.25M_{\text{BH}}$



SPH simulation by Lodato & Rice (2004): Note a priori cooling timescale.

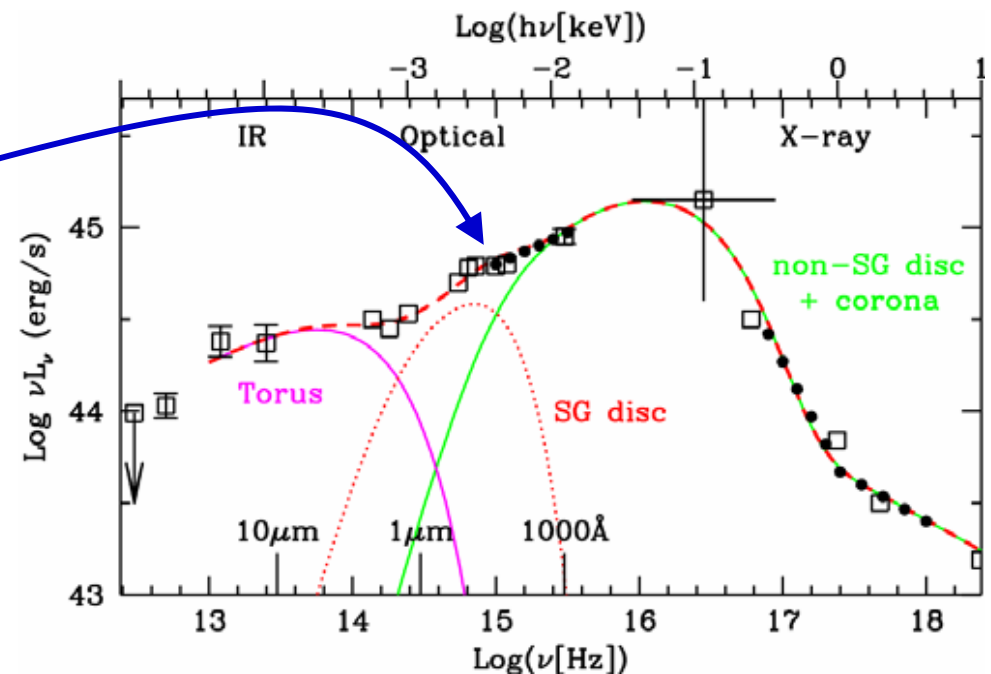
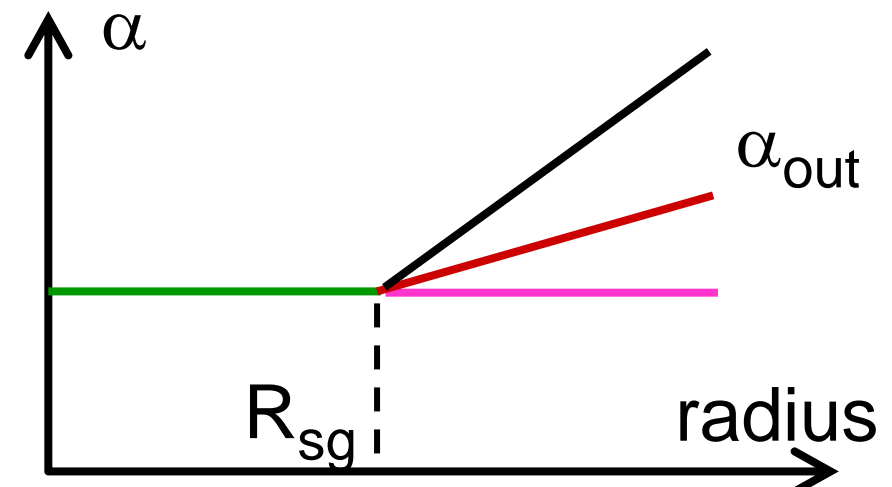
$\alpha(\text{grav. Instabilities}) > \alpha(\text{viscous})$, if disc mass is large.

4-10. Ton S 180: Self-Gravitating Disk-3

Three solutions below fit the observed spectrum equally.

α_{out}	γ ($\Sigma \sim r^\gamma$)
0.002	0.3
(i.e. constant α)	
0.02	-0.6
0.1	-1.5

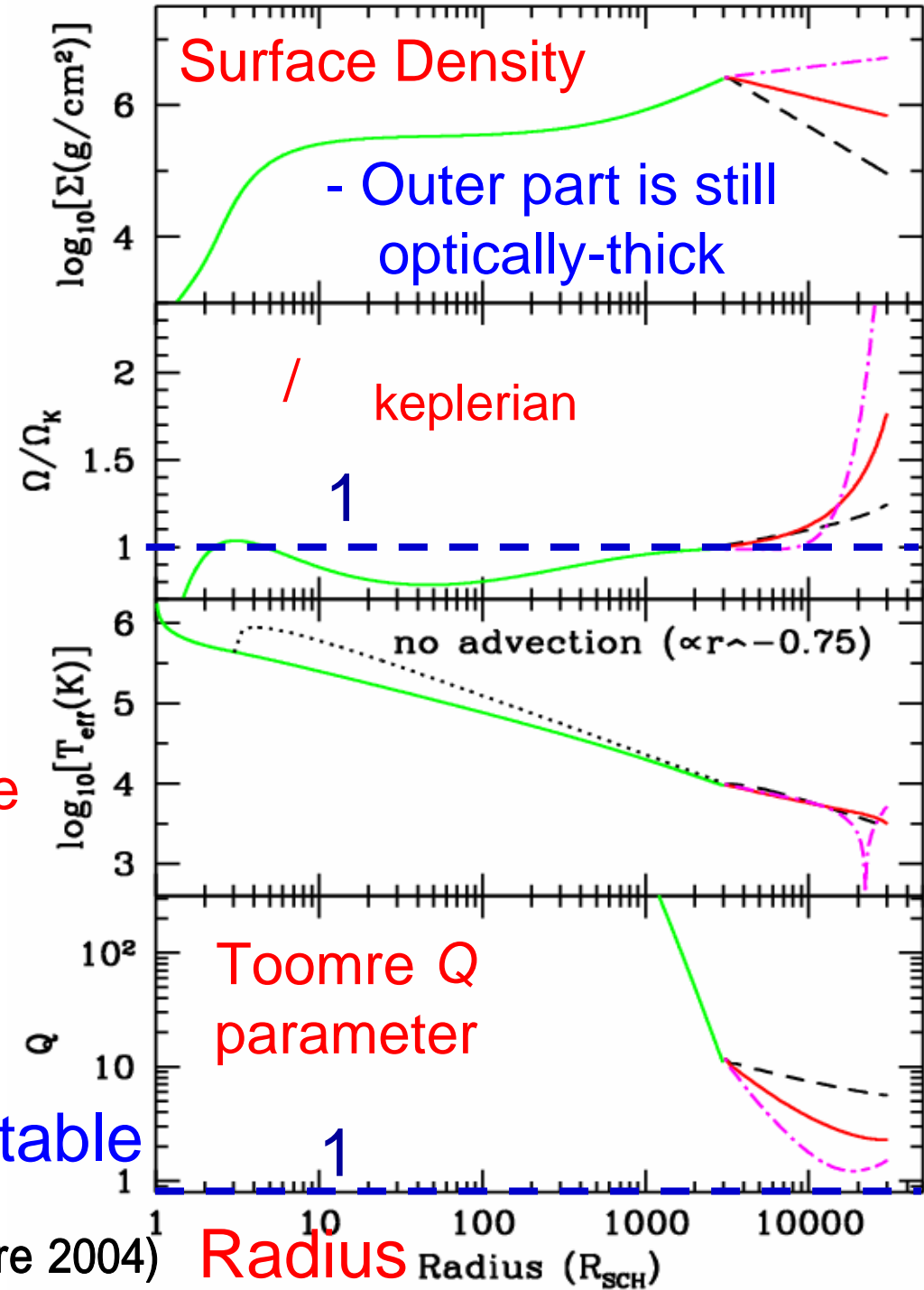
Further understanding of α_{grav} is necessary



4-11.TonS180: Physical Quantities

- Super-Keplerian rotation at $R > R_{SG}$
- Effective Temperature
- Q parameter is always greater than 1, i.e. (at least marginally) stable

(Kawaguchi, Pierens, Hure 2004)



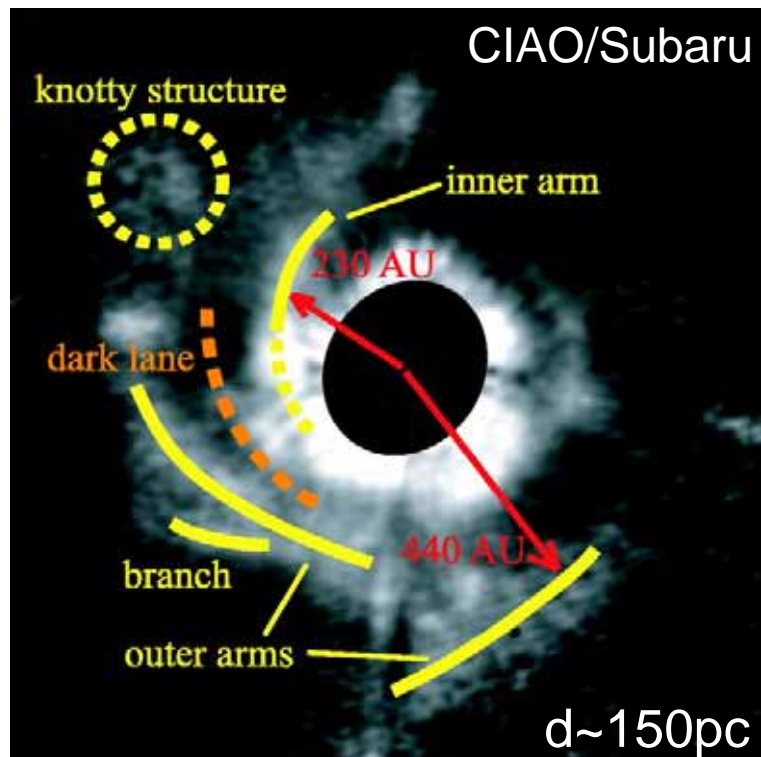
2-1. Is spiral structure in AGN disk observable?

Spiral structure in proto-planetary disks: “face-on” view

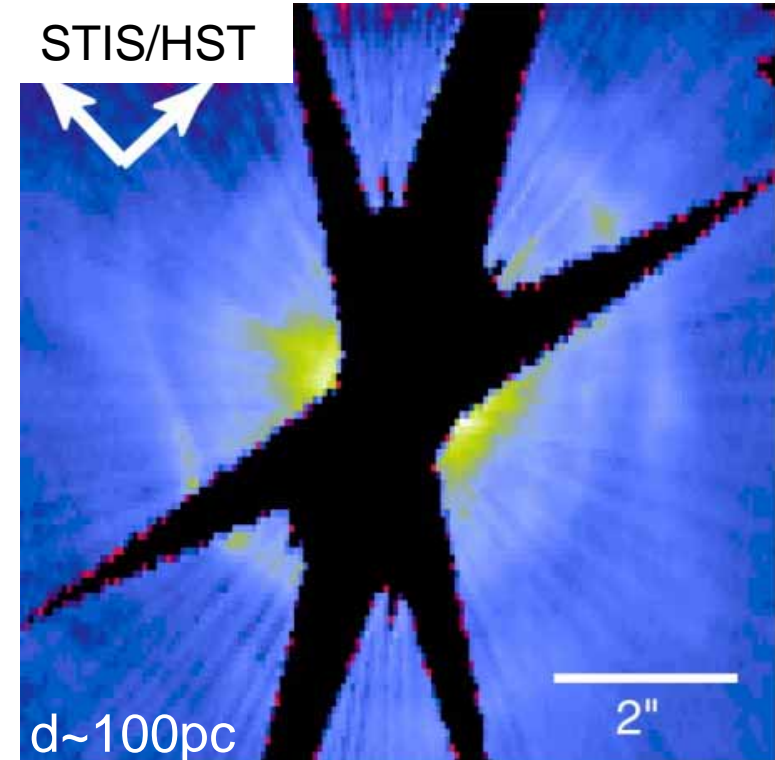
(Fukagawa ++04)

(中心星 + 降着円盤内縁部)光のダスト散乱

(Grady ++01)



$\sim 2''$ ($\sim 300\text{AU} \sim 6 \times 10^9 R_{\text{Sch}}$)
 $M \sim 2.4 M_{\text{sun}}$,
 $M' \sim 10^{-8} M_{\text{sun}}/\text{yr}$ ($\sim 1.9 L_{\text{Edd}}/c^2$)



$M \sim 4 M_{\text{sun}}$, $M' \sim 10^{-7} M_{\text{sun}}/\text{yr}$

$R_{\text{SG}} \sim 20\text{AU}$ for a dust opacity-dominated disk around $1 M_{\text{sun}}$ (Hure 2000)

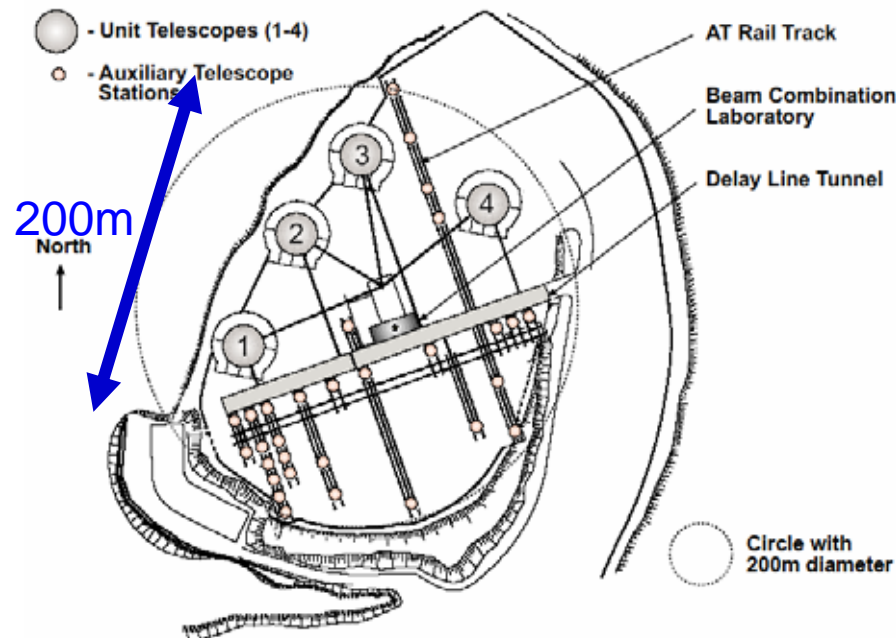
$R_{\text{SG}} \propto M^{1/3}$ なので、 R_{SG} (for $2.4 M_{\text{sun}}$) $\sim 30\text{AU}$.

結論: 涡模様は、 $5R_{\text{SG}} - 15R_{\text{SG}}$ の範囲に出現。($5R_{\text{SG}}$ 以内の模様の存否は不明)

2-2. Near-IR Interferometer

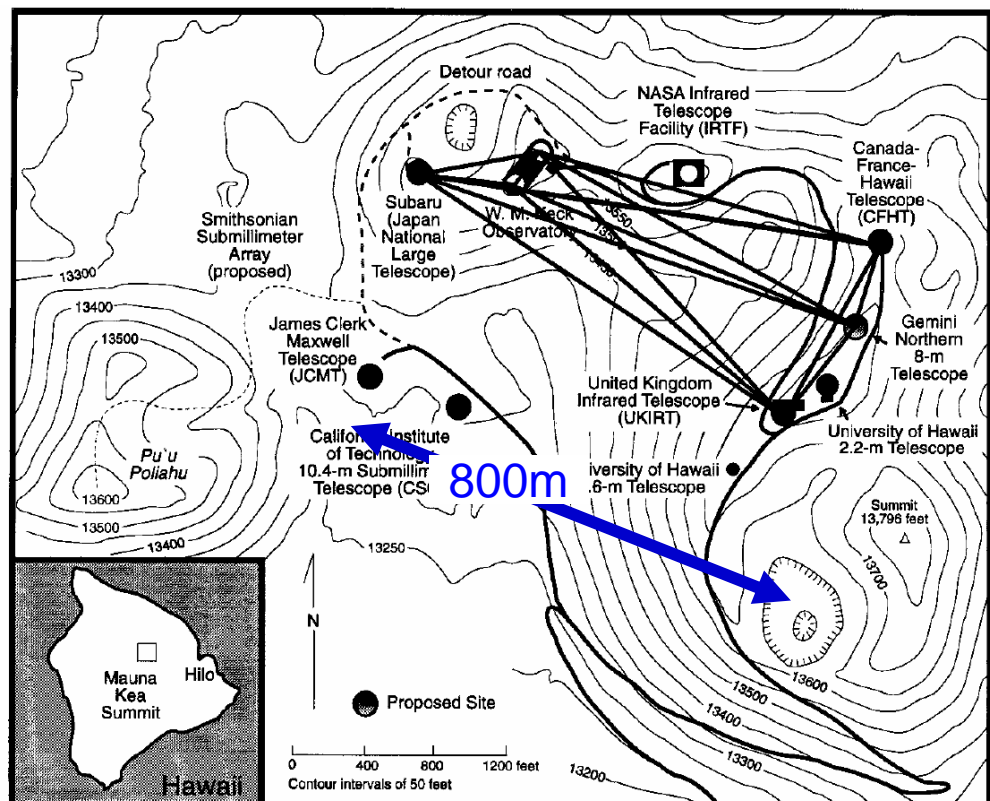
VLT Interferometer (VLTI)

resolution ~ 1--20 mas at 1—20 μm
excellent uv coverage



OHANA (Mariotti ++96, Perrin ++00)

resolution ~ 0.25--0.5 mas at 1--2 μm
0.1pc at 1 μm @ 100Mpc(z~0.025)



2-3. Is spiral structure in AGN disk observable?

1) 原始惑星系円盤の場合、渦模様は、 $5R_{SG} - 15R_{SG}$ の範囲に出現。

□ OHANA: resolution ~ 0.25--0.5 mas at 1--2 μm

0.1pc at 1μm @ 100Mpc(z~0.025)に相当。

.....

- $5R_{SG}$ (~0.01pc)の分解能で、BHから $10-15R_{SG}$ 離れた領域での渦模様を狙うとする。

→ $d < 10\text{Mpc}$ ($z < 0.0025$)

→ 5-10倍くらい空間分解能が足らない for nearby NLS1s (in N-hemi).

→ optical版OHANA(resolution 2倍くらいに)があっても足らない。

- もし自己重力が効いた降着円盤が、ダストトーラスの内縁付近(~ $100R_{SG}$)まで広がっていて、かつ近赤外線を多少は出しているとする。 $25R_{SG}$ (0.05pc)の分解能で済むのなら、 $d < 50\text{Mpc}$ から候補天体を選べるので、模様が見える可能性有り。

- 短い波長域: 例えば、紫外線スペース干渉計@2000Å with 800m base line

だと、分解能の点はOK. ただし、自己重力が効く領域は、(近)赤外線-可視光で光る為、おそらく紫外線では写らないのでは。BHにより近い、紫外線を出す様な領域は、円盤自己重力は完全に無視できて、たぶん模様の無いのっぺりした絵。

3. Summary

1. R_{SG} : 円盤自己重力が効き始める、BHからの距離

λ_{SG} : R_{SG} からの放射波長

M'がsuper-Eddington($>>L_{Edd}/C^2$)になると、

λ_{SG} が数千 Åまで小さくなる事がわかった。

($R_{SG} \sim 0.002\text{pc}$)

(Kawaguchi 03; Kawaguchi ++ 04a)

つまり、super-Eddington AGNの可視光連続光は、
自己重力領域からの放射だった。

2. 原始惑星系円盤の渦状構造が何 R_{SG} での構造か計算してみた。

結果、約5—15 R_{SG} 。

3. super-AGNの降着円盤の渦状構造が、5—15 R_{SG} にわたって
存在していたら、OHANAで見えるか？ 無理。5-10倍足りない。
もし、ダストトーラスの内縁ぎりぎり(約100 R_{SG})まで、広がって
いたら、見えるかも。 南天の近傍NLS1も確認すること。